矩形断面のねじれフラッター特性に関する考察

京都大学大学院 学生会員 ○伊藤 靖晃 京都大学大学院 フェロー 松本 勝 西日本旅客鉄道株式会社 正会員 水野 惠介 1) 京都大学大学院 学生会員 大窪 一正 京都大学大学院 学生会員 金 起男 1)研究当時京都大学大学院

1. 序論

フラッター振動現象は自己励起型発散振動であり、構造物を破壊に至らしめるため、長大吊橋の動的安定性を考える上で最重要検討項目である。そのため、フラッターの励振機構を解明することは必要不可欠である。そこで本研究では、Step-By-Step 解析(SBS 解析)[1]を用いて、ねじれフラッターの励振機構について考察を行う。

2. 非定常空気力特性

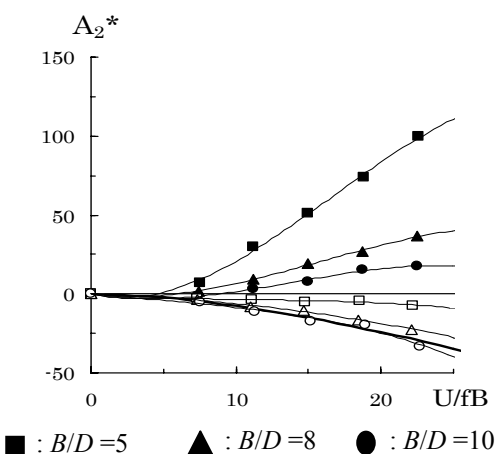
振動する断面に作用する非定常揚力 L 及び非定常ピッチングモーメント M は以下のように定式化されている[2].

$$L = \frac{1}{2} \rho (2b) V^{2} \left\{ k H_{1}^{*} \frac{\dot{\eta}}{V} + k H_{2}^{*} \frac{b \dot{\phi}}{V} + k^{2} H_{3}^{*} \phi + k^{2} H_{4}^{*} \frac{\eta}{b} \right\}$$

$$M = \frac{1}{2} \rho (2b^{2}) V^{2} \left\{ k A_{1}^{*} \frac{\dot{\eta}}{V} + k A_{2}^{*} \frac{b \dot{\phi}}{V} + k^{2} A_{3}^{*} \phi + k^{2} A_{4}^{*} \frac{\eta}{b} \right\} (1)$$

ここで、L: 単位スパン当たりの揚力(下向き正)、M: 単位スパン当たりのモーメント(頭上げ正, 弦長中央点まわり)、 $\eta:$ たわみ変位(下向き正)、 $\phi:$ ねじれ変位(頭上げ正)、 $(\cdot):$ 時間微分、 $\rho:$ 空気密度、b: 半弦長、k: 換算振動数(= $b\omega/V$)、 $\omega:$ 円振動数、V: 風速

本研究では、この L,M を用いたたわみ・ねじれ 2DOF の運動方程式を複素固有値解析(CEVA)及び SBS 解析を用いて解き、フラッター解析を行った.



 $\Box : B/D = 12.5$ $\triangle : B/D = 15$ $\bigcirc : B/D = 20$

Fig.1 the flutter derivative of 2D rectangular cylinders

3. 矩形断面のフラッター特性に関する考察

矩形断面のフラッター特性は断面辺長比(B/D)の変化とともに変化し,B/D=5,8,10 矩形断面ではねじれフラッターが,B/D=12.5,15,20 矩形断面では連成フラッターが発生する.一般に,ねじれフラッターは A_2^* が正値をとるときに起こると考えられ、Fig.1 の A_2^* 特性からねじれフラッターと連成フラッターの境界は B/D=10 と 12.5 の間にあると考えられる. A_2^* の正負は,上面圧力(正圧)のねじれ速度との同相成分 $C_pH_2^*$ の重心が断面の中心の上流側にあるか下流側にあるかで決まり,上流側にある場合は A_2^* は負値をとるためねじれフラッターは起こらず連成フラッターとなり,下流側にある場合は A_2^* は正値をとるためねじれフラッターが起こる.

矩形断面では、断面辺長比の減少とともにねじれフラッターに対して不安定になる。しかしながら、ねじれフラッターが起こる断面でもたわみ振動・ねじれ振動から連成空気力が生じるため、連成フラッターに対する不安定性を有しているといえる。 さらに、ねじれ・たわみ振動数比($f_{o}f_{n}$)が減少すると連成フラッターに対して不安定化する。特に、B/D=5、 $f_{o}f_{n}=1.1$ の矩形断面では Fig.2 に示すように高風速域で Heaving Branch の連成フラッターが潜在的に起こることが確認できる。 また、B/D=10、 $f_{o}f_{n}=1.1$ の矩形断面では Fig.2 に示すように Heaving Branch の連成フラッターが起こることが確認できる。 このケースでは、振動数特性も連成フラッターが起こる他の断面と同様の特性を示すため、連成フラッターのフラッター特性[3]からすれば、 $V=5\sim15$ [m/s]の風速域では Torsional Branch の連成フラッターも共存していると考えられる。

キーワード ねじれフラッター,連成フラッター,分枝,スイッチング

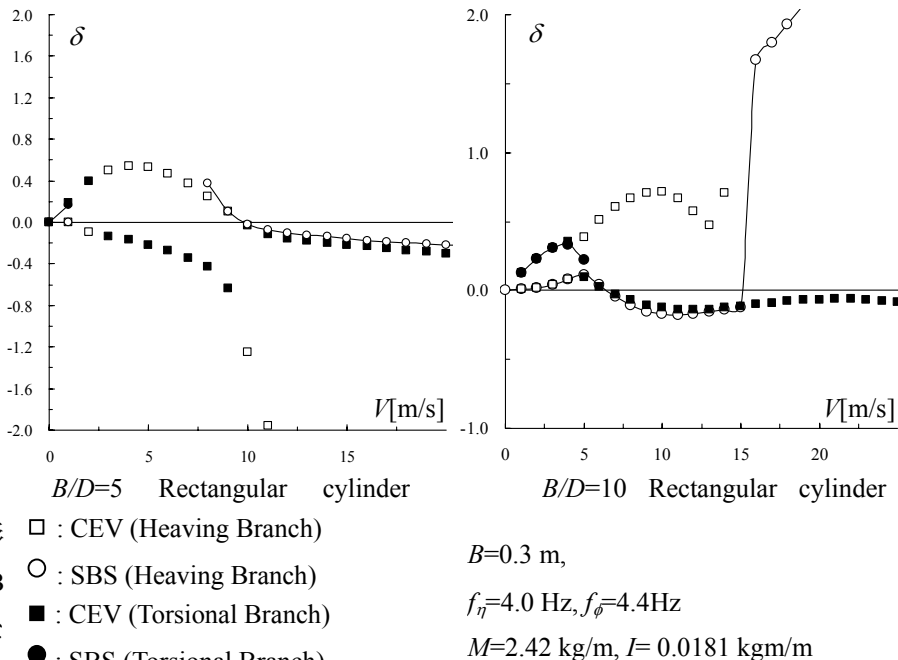
連絡先 〒606-8501 京都市左京区吉田本町 京都大学大学院工学研究科社会基盤工学専攻 TEL 075-753-5093

4. 非定常空気力係数の寄与に関 する考察

SBS 解析から TB flutter の制御 には A_2^*, A_I^*, H_3^* が重要な役割を果 たし,分枝のスイッチング後のHB flutter の制御には H_1^* , A_1^* , H_3^* が重 要な役割を果たすことが明らかに なっている[3]. しかしながら, B/D=5 矩形断面では, 前縁で剥離 した流れが再付着しないために他 の矩形断面と流れのパターンが異 なるため、 A_{I}^{*} 、 A_{4}^{*} の特性が他の矩形 断面と大きく異なり、Fig.4 から HB flutter に対して H_1^* , A_4^* , $|H_3^*|$ が重要な 役割を果たすことが確認できる.

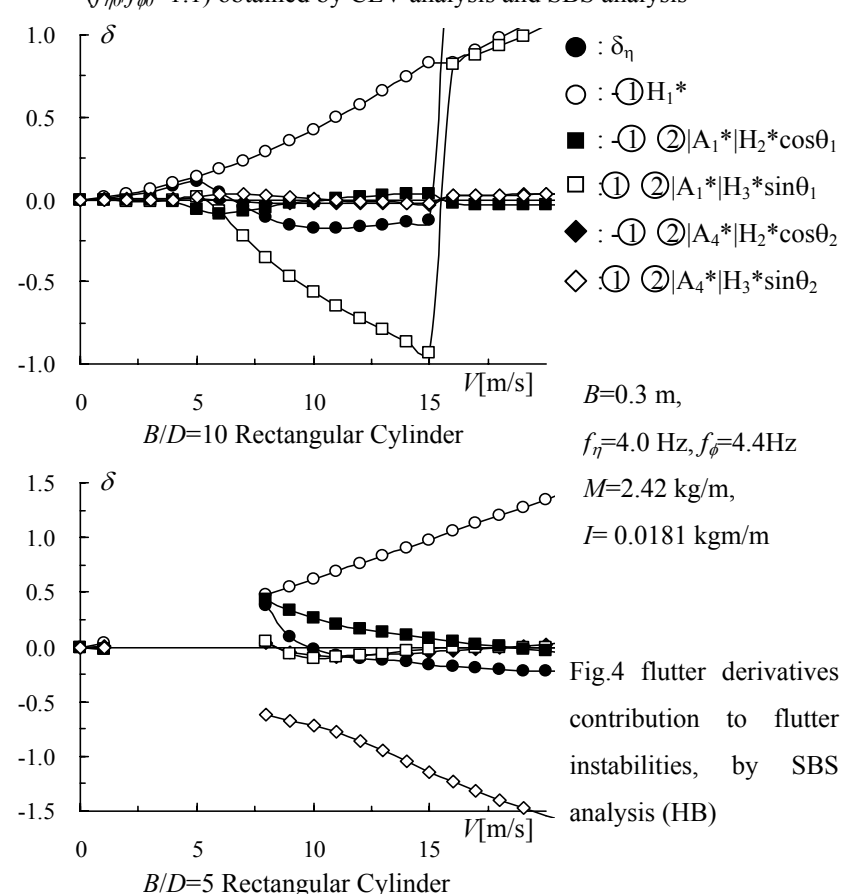
5. 結論

- ねじれフラッターは連成フラ ッターより複雑な励振機構を有する.
- B/D=5 矩形断面は、B/D=8,10 矩形断 面とは異なった分枝特性を示す.
- ねじれフラッターは基本的には Torsional Branch であるが, B/D=10, $f_n = 1.1$ の矩形断面の SBS 解析では Torsional Branch から Heaving Branch へのスイッチングも確認された.
- B/D=8,10 矩形断面では、Torsional Branch \mathcal{C} ! ! ! ! ! ! ! ! Heaving Branch では H_{l}^{*} , A_{l}^{*} , H_{3}^{*} が重要な役割 を果たすが, B/D=5 矩形断面の Heaving Branch では H_1^* , A_4^* , H_3^* が重 要となる.
- 今後の課題として、分枝に着目した より詳細なフラッター解析を行い, 風洞実験の結果と比較する必要があ る.



• : SBS (Torsional Branch)

Fig.2 coupled flutter characteristics of B/D=5 and B/D=10 Rectangular Cylinder $(f_{\eta\theta}/f_{\phi\theta}=1.1)$ obtained by CEV analysis and SBS analysis



6. 参考文献

[1] 松本 勝、小林裕輔、浜崎 博、構造基本断面における連成フラッターの発生機構に関する研究、第 13 回風工 学シンポジウム論文集、1994、pp. 359-364

[2] Scanlan, R.H., Belveau, J.G., Budlong, K.S., Indicial Aerodynamic Functions for Bridge Decks, J. Eng. Mech. Div. Proc. ASCE, Vol.100, EM4, August, 1974, pp. 657-672.

[3]Matsumoto,M.,"Flutter Instability of Structures" to be printed,4th EACWE,2005